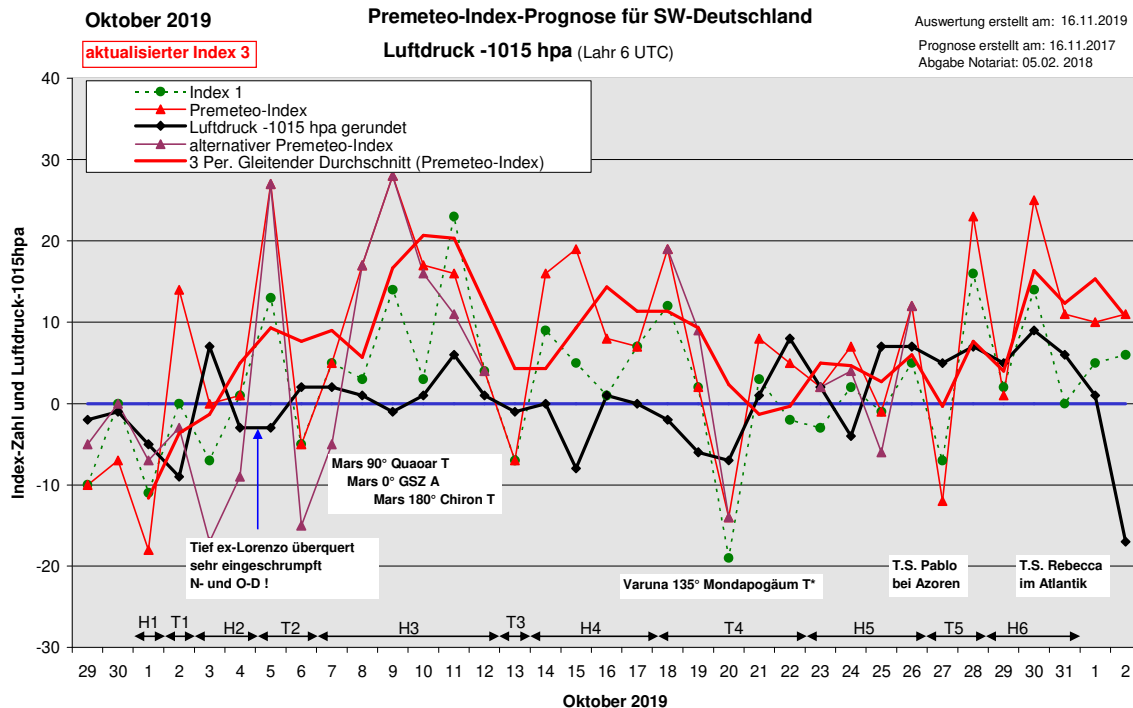


Wetterlagenverlauf Oktober 2019 im Vergleich zur Premeteo-Indexprognose für Südwest-Deutschland

(Im Diagramm sind über der Datumsachse die real eingetreten Hoch- und Tiefdruckphasen durch Doppelpfeile eingetragen. Ausschlaggebend für die Evaluation ist der tägliche Premeteo-Index, in der dünneren, roten Linie mit Dreieckspunkten dargestellt. Ein negativer Premeteo-Index zeigt die Wahrscheinlichkeit für eine zyklonale Tiefdruckströmung, ein positiver Premeteo-Index die Wahrscheinlichkeit für eine antizyklonale Hochdruckströmung an.

Die Wetterlagenbeschreibungen wurden anhand der Berliner Wetterkarten erstellt. Ausschlaggebend ist die Europa-Bodenkarte um 0 UTC, die feiner skalierte 12 UTC-Karte von Mitteleuropa wird nur bei einem Wetterlagenwechsel für die Einordnung des Tages hinzugezogen. Am Ende des Dokuments befinden sich die Tabellen und Konstellationen, die dem Diagramm zugrunde liegen.)



Zusammenfassung:

Die Prognosen des Oktobers 2019 brachten bezüglich der Bestimmung der Wetterlage mit 22 richtig und 9 falsch vorhergesagten Tagen ein durchschnittliches Ergebnis. Der mittlere Premeteo-Index pro Tag lag bei den insgesamt 11 Tiefdruckwettertagen jedoch bei +5,45, was hauptsächlich mit einem gegenüber dem Index insgesamt viel tieferen Luftdruckverlauf zustande kam. Auffallend war für den Zeitraum die Entstehung der Tropenstürme Lorenzo zu Beginn sowie Pablo und Rebekah am Ende des Monats bei den Azoren, was auf erhöhte Atlantik-Wassertemperaturen und eine allgemein stärkere Labilisierung der Atmosphäre, die nach Europa einströmte, hinwies. Davon zeugte auch die gegenüber den Vormonaten deutlich erhöhte Niederschlagsmenge, die nach dem trockenen Sommer sehr begrüßt wurde. Es gab zu Beginn des Monats aber auch leichte Zeitverschiebungen um einen Tag, die bei stark schwankendem Index die Statistik verzerrten. Trotzdem war der mittlere Premeteo-Index pro Tag bei den insgesamt 20 Hochdruckwettertagen mit +8,85 immerhin noch erkennbar höher als bei den Tiefdruckwettertagen. - Auffallend war das kurzfristige und zum Index gegenläufige Absacken des Luftdrucks am 15. Oktober, an dem auch ein Erdbeben auf den Philippinen stattfand.

Der wärmste Tag war der 13. mit einer Tagesmitteltemperatur von 19,5° C in Lahr. Begleitende Aspekte waren Mars 0° Makemake A / 72° Ceres T / 30° Venus und Sonne 60° Jupiter W.

Zu Beginn des Monats, am 3. und 4., kam es zu einer auffallenden Abkühlung (Tagesmitteltemperatur in Lahr 10,1 und 11,7° C) mit Ceres 30° Pallas T* und Venus 144°

Neptun H / 180° Eris A. Am 29. wurde die geringste Tagesmitteltemperatur mit 7,5° C bei Venus 0° Pallas K und Mars 150° Neptun erreicht.

Der höchste Luftdruck in Lahr 6 UTC konnte am 30. mit 1023,9 hPa und Ceres 120° Eris H* und Vesta 150° Jupiter H* verzeichnet werden.

Der tiefste Luftdruck um 6 UTC trat am 15. mit 1006,9 hPa wie oben schon erwähnt als kurzzeitige Luftdruckabsackung ein und wies keinen Bezug zum Premeteo-Index auf. Die zweittiefste Luftdruckwelle wurde am 19. und 20. mit 1009,4 und 1008,4 hPa registriert und war von zahlreichen T-Aspekten begleitet: Sonne 0° Haumea / 150° Vesta T / 45° Orcus T, Varuna 135° Apogäum T*, Merkur 60° Pluto T / 45° Makemake T und Venus 60° Saturn T.

Beschreibung der einzelnen Wetterphasen:

Hochdruckphase 1: Ein Hoch mit Kernen über Süddeutschland und dem Westbalkan setzte den Zwischenhocheinfluss vom 30. September fort, doch kam es bereits wieder zu kräftigem Luftdruckfall durch Tief Nils über Irland. Der Premeteo-Index hatte einen Wert von -18.

Tiefdruckphase 1: Tief Nils I und II über Nordostdeutschland und Nordpolen dehnte sich um einen Tag verspätet über Deutschland aus. Der Premeteo-Index hatte bereits einen Wert von +14.

Hochdruckphase 2: Hoch Käthe über Frankreich übte am 3. seinen Einfluss über Südwest- und Süddeutschland aus. Es verlagerte zum 4. seinen Kern relativ rasch nach den Ostalpen, und Tief ex-Lorenzo sorgte für ein Absinken des Luftdrucks. Der Premeteo-Index summierte über die 2-tägige Hochdruckphase auf +1.

Tiefdruckphase 2: Am 5. war um 0 UTC noch eine sehr schmale, antizyklonale Brücke über Südwestdeutschland zwischen der 1010er-Isobare von Tief ex-Lorenzo und der 1010er-Isobare eines Tiefs über Norditalien erhalten geblieben. Am Vormittag kam es bei steigendem Luftdruck zu Regenfällen und um 12 UTC lag eine schmale Tiefdruckzone über Südwestdeutschland, die sich um 0 UTC des 6. zu Tief Olaf II über Großbritannien erweitert hatte und reichlich Regen brachte. Das Tief trat gegenüber dem Premeteo-Index, der am 5. noch einen Wert von +27 hatte, um einen Tag zu früh ein. Der Premeteo-Index summierte über die 2-tägige Tiefdruckphase auf +22. (Bei diesen beiden Tagen fiel auf, dass das Index-3-Rechenprogramm bei Venus 0° Haumea nicht den Auslöseaspekt Haumea 60° GaZ ?* ausgeworfen hatte. Programmierfehler? Der Aspekt wurde in violetter Farbe nun nachträglich eingetragen. Der Wetterverlauf könnte ein erster Hinweis auf einen T*-Aspekt sein.)

Hochdruckphase 3: Am 7. setzte sich schwach das Azorenhoch durch, am 8. lag die Region knapp an der Nordseite des schmalen Hochs Jennifer mit Kernen über Südostfrankreich und Ostbalkan. Tief Peter mit Kern südlich von Island drückte stärker nach Deutschland herein, als der Premeteo-Index erwarten ließ. Dies könnte mit Mars 0° GSZ A / 90° Quaoar T in Verbindung gestanden haben. Der Mars bewegte sich relativ schnell. Tief Peter hatte am 9. um 0 UTC seinen Isobarenbereich über ganz Deutschland ausgedehnt, doch um 12 UTC kam die Region schon in den Einflussbereich einer antizyklonalen Strömung aus Südwest, die am 10. durch Hoch Lisbeth I und II mit Kernen über den Azoren und den Ostpyrenäen den Luftdruck deutlich ansteigen ließ. Am 11. lag der Kern von Hoch Lisbeth bereits über den Ostalpen und am 12. über dem westlichen Schwarzmeer. Der Premeteo-Index summierte über die 6-tägige Hochdruckphase auf +87.

Tiefdruckphase 3: Am 13. kam es zu einer flachen Einwirkung von Tief Rocco mit Kern über Biskaya. Der Premeteo-Index hatte einen Wert von -7.

Hochdruckphase 4: Hoch Lisbeth I und II mit Kernen über dem Ostbalkan und dem Schwarzen Meer dehnte sich am 14. über die Südhälfte Deutschlands aus. Am 15. sind um 0 UTC die Isobaren im Bereich Südwestdeutschlands noch schwach zu Hoch Lisbeth hin gekrümmt, dessen Kern jetzt über dem Westkaukasus lag. Um 12 UTC lag die Region gerade noch im Einflussbereich einer flachen Hochdruckzelle über Ostfrankreich, so dass dieser Tag trotz des stark gefallenen Luftdrucks noch als überwiegend antizyklonal eingestuft werden konnte. Der einzige Anknüpfungspunkt für den Abbau der Antizyklonalität ist die Symmetrie Sonne 144 Neptun Sedna (19) A W A T*(0,5/2), die gemäß den Prognoseregeln für die Sonne nicht angerechnet wurde. Am 16. war für den Südwesten ein flacher Hochdruckkeil von der Iberischen Halbinsel und Frankreich für die antizyklonale

Krümmung der Isobaren verantwortlich und am 17. hatte sich um 0 UTC eine Hochdruckzelle über den Alpen ausgebildet. Der Premeteo-Index summierte über die 4-tägige Hochdruckphase auf +50.

Tiefdruckphase 4: Am 18. noch bei einem Premeteo-Index von +19 setzte sich Tief Thilo I, II, III mit Kernen vor Irland, über dem Nordmeer und Südsandinavien über Deutschland durch. Der Premeteo-Index fiel dann relativ steil ab auf +2 am 19. und auf -14 am 20., und Tief Thilo blieb entsprechend weiterhin wetterbestimmend. Es trat der hochrangige Aspekt Varuna 135° Mondapogäum T* auf. Am 20. kam noch Tief Urban über Frankreich hinzu, das am 22. Südschweden erreichte und weiterhin den Isobarenraum bestimmte. Am 22. zeigte sich um 0 UTC noch ein Wellentief über der Schweiz. Der Premeteo bewegte sich nun im flach positiven Bereich und die Atmosphäre stabilisierte sich. Über die 5-tägige Tiefdruckphase summierte der Index auf +20.

Hochdruckphase 5: Im Laufe des 23. kam die Region in den Einflussbereich von Hoch Majla II über Norddeutschland und am 24. lag Südwestdeutschland innerhalb der antizyklonalen Strömung von Hoch Nicola mit Kern über dem Südostbalkan. Hoch Majla I und II zeigte sich am 25. mit Kernen über der Iberischen Halbinsel und Nordostitalien. Es blieb in dieser Formation auch am 26. erhalten. Interessant ist, dass sich über den Azoren bis 0 UTC der Tropensturm Pablo mit 990 hPa und 40 kn gebildet hatte! Dies geschah mit dem Exaktwerden der Konjunktion von Ceres mit Jupiter auf 22° Schütze, für Südwestdeutschland ein H*-Aspekt. Diese Konjunktion bestand im 1°-Exaktheitsbereich vom 20. bis zum 31. Oktober. Über Tunesien zeigte sich am 26. auf 500 hPa ein abgeschnürter Kaltlufttropfen. Der Premeteo-Index summierte über die 4-tägige Hochdruckphase auf +20.

Tiefdruckphase 5: Um 0 UTC des 27. lag Südwestdeutschland noch im Einflussbereich von Hoch Majla, doch um 12 UTC hatte sich schon der Kaltfront-Ausläufer von Tief Yaroslav nach Westen mit einem Trog bis in unsere Region durchgesetzt. Es regnete in der Nacht zum 28. und auch noch am Vormittag. Die flache Tiefdruckrinne setzte sich bis Tropensturm Pablo über dem Ostatlantik fort. Der Premeteo-Index summierte über die 2-tägige Tiefdruckphase auf +11.

Hochdruckphase 6: Am 29. hatte sich Pablo in ein normales Tief umgewandelt und bildete zusammen mit einem Wellentief mit Kern über Ostfrankreich und der eingeströmten, kalten maritimen Polarluft einen Trog über Südwest- und Süddeutschland sowie über dem Alpenraum bis zum Nordbalkan. Dieser Umschwung zu den kalten Temperaturen geschah mit Vesta 150° Ceres H* K?*. Auf den Philippinen kam es am 29. zu einem Erdbeben. Die Luftdruckkurve verlief in der Form der Premeteo-Trendlinie bei relativ hohem Druck, doch war die Strömung um 0 UTC durch die Hebungsvorgänge der Kaltfront noch zyklonal und es kam zu reichlich Niederschlag. Erst um 12 UTC hatte sich die Strömung am Boden bei steigendem Luftdruck über der Region antizyklonalisiert. Hoch Oldenburgia mit Kernen über Schottland, Nordsee und Dänemark setzte sich am 30. über ganz Deutschland durch. Am 31. verfügte das Hoch nur noch über einen Kern über Polen. Der Premeteo-Index summierte über die 3-tägige Hochdruckphase auf +37.

SW-D befand sich an 20 Tagen im Einflussbereich antizyklonaler Strömung. Die Summe des prognostizierten Premeteo-Index für diese Tage ergab +177. Dies entsprach einer Indexzahl von +8,85 pro Tag.

An 11 Tagen befand sich SW-D im Einflussbereich zyklonaler Strömung. Die Summe des prognostizierten Premeteo-Index für diese Tage ergab +60. Dies entsprach einer Indexzahl von +5,45 pro Tag.

Die Prognose durch die Premeteo-Wettersymbole war an 9 Tagen falsch (am 2., 5., 8., 9., 10., 15., 18., 28. und 30.), an 11 Tagen richtig und an 11 Tagen nur tendenziell richtig.

16.11.2019		Die Konjunktion Saturns mit dem absteigenden Mondknoten, die seit dem 26.04.2019 bestand, endet nun am 02.10.2019. Seit dem 24.09.2019 bis zum 07.10.2019 ist das Mondapogäum in Konjunktion mit Neptun und löst Nep 72 Sed T*(0,5/2) 0/-10 im Index 3 aus. Vesta 0° Sedna vom 1. bis 8., Ceres 0° Jupiter vom 20. bis 31.										
Oktober 2019		Prognose für SW-Deutschland aktualisierter Index 3										
01.10.2019												
Langsamläufer-Impulse		T*				Hf*		H*	T*, H*		H*, Hf*	H*
Schnellläufer-Impulse	Tf	H	2T	3H, Hf		H		2T	H, T	H	T, H	T
Temperaturimpulse			W	K				K		W	K*	
Premeteo-Index -zyklonal, + antizyklonal (Index 1+2+3)	-18	14	0	1		27		-5	5	17	28	17
Pre.IX (ALTERNATIV)	-7	-3	-17	-9		27		-15	-5			
Index 1 (12 - 12 UTC) exakte Aspekte des Tages	-11	0	-7	1		13		-5	5	3	14	3
Index 1 (ALTERNATIV)						23						
Symmetrien (0 - 0 UTC)	Eri 3op Ven Mer (08) A TI -70 Ura 8op Pal Mer (11) H* T --- Ven 23 Mar Pal (16) Hf 0/+14 Ves 150 GaZ Mer (20) T* A TI -7 Chi 5op Son Mar (21) T T ---	Mak 3 Son GSZ (02) A H*(3,5/1) +70 Eri 2op Ven Hau (06) A H*(5/2) +7 Ven 145 Nep Ves (08) H A A* W +7 Sed 151 GaZ Mer (12) ? A TI --- Ven 144 Nep Sed (13) H A T*(0,5/2) (+7) Hau 3 Ven Mar (18) A A --- GSZ 3 Mar Mak (22) A H*(3,5/1) +70	Mer 6op Ura Eri (04) T TI ---	Ura 10op Pal Hau (07) H* H*(51,5) --- Mak 5 Son Mar (10) A A ---	Jun 45 Var Mer (10) H* H A +14 Chi Mar Mak (17) T H*(4/2) ---	Mer 45 Jup Jun (01) A H A* +7 Ves 150 Ven GaZ (10) A T* T -7	Sed 151 Ven GaZ (17) H ? T +7	Pal 45 Qua GSZ (10) H* Hf* ? +7	Son 72 Var GaZ (01) H H A*(2/1)+14 Eri 8op Son Ven (21) H A ---	Ura 4op Ven Mer (00) A T --- Mar 22 Orc Hau (02) T --- Chi 10op Mar GSZ (03) T ? --- Mar 2 Mak GSZ (09) A A --- Jup 135 Ura Var (14) A* A* H*(4,5/1) --- Ven 15 Son Pal (16) H +14 Hau 22 Mar Pal (20) HI ---		
Index 2 (12 - 12 UTC)	-7	14	7	0		14		0	0	14	14	14
Index 2 ALTERNATIV	14	7	0									
ausgelöste Aspekte (= durch Konjunktionen aktivierte Aspekte)	Mar 120 Sed T-4 (Sat 180 Kn1 H7) Orc 45 Hau T-11 Nep 72 Sed T*(0,5/2) 0/-10 Sed 150 GaZ ?*	Mar 120 Sed T-4 (Sat 180 Kn1 H7) Nep 72 Sed T*(0,5/2) 0/-10 Sed 150 GaZ ?*	Ven 144 Nep H2 Nep 72 Sed T*(0,5/2) 0/-10 Sed 150 GaZ ?*	Nep 72 Sed T*(0,5/2) 0/-10 Sed 150 GaZ ?*	Orc 45 Hau T-11 Nep 72 Sed T*(0,5/2) 0/-10 Sed 150 GaZ ?* Hau 60° GaZ ?*	Orc 45 Hau T-11 Nep 72 Sed T*(0,5/2) 0/-10 Sed 150 GaZ ?* Hau 60° GaZ ?*	Ven 150 Sed H2 Cer 90 Nep H5 Nep 72 Sed T*(0,5/2) 0/-10 Sed 150 GaZ ?* Chi 180 GSZ T*(1/5) -8 Qua 90 GSZ ?*	Pal 45 GSZ H5 Nep 72 Sed T*(0,5/2) 0/-10 Sed 150 GaZ ?* Chi 180 GSZ T*(1/5) -8 Qua 90 GSZ ?*	Pal 45 GSZ H5 Chi 180 GSZ T*(1/5) -8 Qua 90 GSZ ?*			
Index 3 (Summe)	0	0	0	0		0		0	0	0	0	0
Index 3 ALTERNATIV	-10	-10	-10	-10		-10		-10	-10	-10	-10	-10
Symbol-Prognose	5	2	3	3		2		3	3	2	2	2
Symbol-Prognose altern.	3	3	5	3		2		5	3	2	2	2
Wochentag	Di	Mi	Do	Fr	Sa	So	Mo	Di	Mi	Do		
Datum	1	2	3	4	5	6	7	8	9	10		
reale Wetterlage	H1: Tf / -18	T1: T* - H / +14	H2: Hf, 3H - 2T / +1		T2: 2T - Hf*, H*, H / +22		H3: Hf*, 6H*, 5H - T*, 5T / +87					
Luftdruck (hpa) 06 UTC	1010,1	1006,3	1021,5	1011,9	1011,6	1016,6	1017,4	1015,9	1014,4	1015,7		
mittl. Temp.(°C)	15,9	12,8	10,1	11,7	12,1	12,2	12,4	14,8	12,5	12,9		
Sonnenscheindauer (h)	3,9	0,8	9,2	0,6	0,1	0	0	0,4	0,2	4,1		
Niederschlag (Liter)	3,9	5,7 / 16	0	1,3 / 2	1,0 / 8	11,1 / 16	0 / 3	2,2	/ 12	0,2 / 18		
Bodenwetterlage 00 UTC (Kernlage des Druckgebiets, das SW-D beeinflusst)	H ü S-D u W- Balk	T ü NO-D	H ü F	H ü O-Alp	sehr fl H-Zone zw T ü O-D u T ü N-Ital	T ü GB	Azor-H	H mit Kernen ü So-F u O-Balk	T mit Kernen zw Isl u Schottl u ü Osee	Azor-H u H O-Pyr, T bei Schottl		
Bodenströmung 12 UTC zyklonal (z), antizyklonal (a)	fl a	a-z	a	a-z	fl z	z	fl z	fl a	fl a	a		
Strömung auf 500 hpa 00 UTC	W fla	SW z	NNW z	NW fl a	NW fl z	NW a-z	z	NO a	SW a	W z		
zutreffende Wettersymbole	3-5 r	5 f	2-5 r	5 hr	5 f	5 hr	5 hr	5 f	5 f	3-5 f		

Übertrag	03:10	01:02	02:25	00:26	04:32	01:47	00:05	14:26	00:34	03:26
Index 1: -4	SAT 30 CER	CER 72 GSZ	MER 45 CER	MER 72 KN2	URA 150 MAK	MER 90 VAR	VEN 150 SED	SON 72 GAZ	MAR 180 CHI	SON 150 NEP
Index 2: 0	STE 14*02'38" SCH 14*02'38" A*	SCH 14*19'29" WAA 02*19'29" A*	WAA 29*39'11" SCH 14*39'10" A*	SKO 00*57'20" STE 12*57'21" A*	STI 05*31'23" WAA 05*31'23" Hf* +9	SKO 03*49'25" LÖW 03*49'24" A*	WAA 27*52'29" STI 27*52'27" H +2	WAA 15*00'47" SCH 27*00'48" H W +3	WAA 03*07'07" WID 03*07'07" T-4	WAA 16*32'06" SCH 16*32'06" A*
	04:19	01:06	03:44	07:08	08:19	03:26	03:02		02:28	04:23
	VEN 90 PLU	JUN 180 APO	VEN 144 APO	JUN 144 ERI	SED 45 KN1	MER 45 JUP	JUP 90 JUN		CER 90 NEP	MAR 60 VAR
	WAA 20*38'06" STE 20*38'05" A*	JUN 16*58'02" FIS 16*58'02" A*	WAA 23*05'28" FIS 17*05'27" T W ---	JUN 17*54'02" WID 23*54'01" A*	STI 27*53'08" KRE 12*53'08" A*	SKO 03*55'05" SCH 18*55'04" A*	SCH 19*03'53" JUN 19*03'53" A*		SCH 16*33'33" FIS 16*33'33" H* K* +5	WAA 03*51'57" LÖW 03*51'58" A*
	06:29	04:51	12:50	08:02	10:56	07:27	06:18		06:13	05:45
	MER 60 GAZ	VEN 144 SED	MAR 144 URA	MER 60 QUA	JUP 135 VAR	VEN 60 GAZ	MER 180 URA		VEN 72 KN2	JUN 135 URA
	WAA 27*00'48" SCH 27*00'49" TI -7	WAA 21*54'20" STI 27*54'20" A	JUN 29*34'59" STI 05*34'58" T-4	SKO 01*24'07" STE 01*24'06" H +1	SCH 18*48'59" LÖW 03*48'59" A*	WAA 27*00'47" SCH 27*00'48" T-2	SKO 05*26'49" STI 05*26'48" T-2		SKO 00*40'42" STE 12*40'42" A	JUN 20*20'04" STI 05*20'04" H* +5
	12:11	15:46	19:27	12:35	11:01	09:05	06:28		11:00	06:33
	NEP 180 JUN	MER 30 MAR	VEN 180 ERI	MER 135 NEP	VEN 0 EL6	VEN 150 VES	VES 150 GAZ		SON 72 VAR	VEN 45 CER
	FIS 16*44'36" JUN 16*44'36" A*	WAA 29*01'05" JUN 29*01'06" A*	WAA 23*54'19" WID 23*54'18" A	SKO 01*40'06" FIS 16*40'06" AK	WAA 25*57'17" WAA 25*57'16" A	WAA 27*05'52" STI 27*05'51" A	STI 27*00'48" SCH 27*00'48" T* -5		WAA 15*51'32" LÖW 03*51'32" H W +3	SKO 01*56'19" SCH 16*56'20" T-2
	12:54	16:44		18:34	16:06	09:15	07:24		11:28	13:48
	SAT 60 PAL	CER 30 PAL		MAR 45 PAL	MER 150 CHI	MAR 90 QUA	PAL 45 QUA		PAL 45 GSZ	VEN 72 SAT
	STE 14*03'09" SKO 14*03'09" A*	SCH 14*31'38" SKO 14*31'38" T* -5		WAA 00*22'50" SKO 15*22'49" Hf ---/+10	SKO 03*15'60" WID 03*16'00" A	WAA 01*25'06" STE 01*25'05" T-4	SKO 16*25'35" STE 01*25'34" H* +5		SKO 17*19'31" WAA 02*19'30" Hf* +10	SKO 02*18'51" STE 14*18'51" A
	13:41	20:22		20:33	16:56	09:19	08:32		15:52	14:01
	MER 150 VES	VEN 144 NEP		MER 72 SAT	SON 135 VES	SON 90 KN1	MER 30 FY9		MER 72 PLU	VEN 30 GSZ
	WAA 27*26'59" STI 27*27'00" A	WAA 22*42'34" FIS 16*42'35" H +2		SKO 02*08'00" STE 14*08'00" H +2	WAA 12*09'27" STI 27*09'26" A	WAA 12*49'49" KRE 12*49'49" A K	WAA 05*34'25" A		SKO 08*38'37" STE 20*38'38" A	SKO 02*19'31" WAA 02*19'30" A
	19:47			22:44	20:11	10:29	17:00		21:07	16:32
	VEN 144 VES			SON 30 ORC	VEN 45 ORC	SON 135 SED	NEP 120 PAL		VEN 60 QUA	SON 60 CER
	WAA 21*26'10" STI 27*26'09" A			WAA 11*24'37" JUN 11*24'37" A	WAA 26*25'46" JUN 11*25'45" A	WAA 12*52'42" STI 27*52'41" A*	FIS 16*35'30" SKO 16*35'30" A*		SKO 01*27'00" STE 01*27'00" A	WAA 17*04'27" SCH 17*04'28" A
	21:16			23:18	21:03	13:13	19:01		22:51	
	MER 150 SED			MER 135 APO	MER 45 JUN	JUN 45 VAR	MAR 0 GSZ		VEN 135 NEP	
	WAA 27*54'28" STI 27*54'27" A			SKO 02*17'36" FIS 17*17'35" H +2	SKO 03*33'06" JUN 18*33'06" H +1	JUN 18*49'43" LÖW 03*49'43" H* +5	WAA 02*19'30" WAA 02*19'30" A		SKO 01*32'23" FIS 16*32'22" A	
				23:50			19:08		23:49	
				MER 30 GSZ			SON 90 SAT		MER 144 CHI	
				SKO 02*19'28" WAA 02*19'29" A			WAA 14*13'11" STE 14*13'12" A W?		SKO 09*04'33" WID 03*04'34" A	

Oktober 2019



Prognose für SW-Deutschland

aktualisierter Index 3

Die Konjunktion Saturns mit dem absteigenden Mondknoten, die seit dem 26.04.2019 bestand, endet nun am 02.10.2019. Seit dem 24.09.2019 bis zum 07.10.2019 ist das Mondapogäum in Konjunktion mit Neptun und löst Nep 72 Sed T*(0,5/2) 0/-10 im Index 3 aus. Vesta 0° Sedna vom 1. bis 8., Ceres 0° Jupiter vom 20. bis 31.

Die rot markierten Aspekte im Index 3, sind Aspekte, bei denen der ursprüngliche Konjunktionsplanet den höheren Rang hat als der Partnerplanet. Das bedeutet, dass der Konjunktionsplanet bei diesen Aspekten immer als Planet 2 auftritt. Diese Aspekte wurden in dieser Datei nicht angerechnet.

Langsamläufer-Impulse	3H*			H*		H*	2H*	H*, T*		
Schnellläufer-Impulse	T, H	H, T	2T, H	H, Hf		2H	2T, H	T, H	2T, Hf	
Temperaturimpulse			W	K	2W	W	K?	2W		
Premeteo-Index - zyklonal, + antizyklonal (Index 1+2+3)	16	4	-7	16	19	8	7	19	2	
Pre.IX (ALTERNATIV)	11								9	
Index 1 (12 - 12 UTC) exakte Aspekte des Tages	23	4	-7	9	5	1	7	12	2	
Index 1 (ALTERNATIV)	18								9	
Symmetrien (0 - 0 UTC)	Ves 150 Hau GaZ (08) A* T* ?* ?* Ura 136 Jup Jun (11) A* H* A* ?* Mer 36 Mar Cer (12) T -14 Ven 8 Hau Mer (16) A A W --- Hau 8 Son Ven (21) A A ---	Nep 5op Jun Orc (20) A* H*(4,5,1) ---	Ven 44 Jup Jun (10) T Hat K A* ?	Ura 8op Hau Mer (02) H*(5,1,5) T --- Ves 145 Son Qua (10) A H* T +7 Ura 166 Son Pal (13) H ---	Eri 2op Son Hau (01) H H*(5/2) +14 Plu 72 Ven Chi (13) A H*(4/2) A W --- Son 144 Nep Sed (19) A W A T*(0,5/2) ---	Mer 45 Qua GSZ (10) H H ?* ?* +7 Eri 164 Ven Mar (11) H ---	Cer 136 Ura Var (22) A* A* H*(4,5,1) ---	Jup 30 Plu Pal (19) A* H* A* ?* Mak 4 Mar GSZ (16) A H*(3,5,1) --- Mar 16 Son Jun (19) A ---	Ura 9op Ven Hau (16) A H*(5,1,5) --- Ura 9op Son Ven (20) H A ---	Chi 8op Mar Jun (18) T A* ---
Index 2 (12 -12 UTC)	-7	0	0	7	14	7	0	7	0	
Index 2 ALTERNATIV										
ausgelöste Aspekte (= durch Konjunktionen aktivierte Aspekte)		Ura 150 Mak H9	Ura 150 Mak H9	Ura 150 Mak H9				Orc 45 Hau T-11 Hau 60 GaZ ?*	Pal 30 Jup H5 Orc 45 Hau T-11 Hau 60 GaZ ?*	
Index 3 (Summe)	0	0	0	0	0	0	0	0	5	
Index 3 ALTERNATIV										
Symbol-Prognose	2	3	3	2	2	3	3	2	3	
Wochentag	Fr	Sa	So	Mo	Di	Mi	Do	Fr	Sa	
Datum	11	12	13	14	15	16	17	18	19	
reale Wetterlage	T3: 2T - H / -7			H4: 2H*, Hf, 4H - 2T / +50			T4: T*, 9T - 2H*, Hf, 4H / +20			
Luftdruck (hpa) 06 UTC	1021,1	1016,1	1014,3	1015,3	1006,9	1016,3	1014,8	1012,6	1009,4	
mittl. Temp.(°C)	13	16,1	19,5	17,7	13,2	13,6	15,3	14,8	13,3	
Sonnenscheindauer (h)	8	6	7,7	9,9	0,7	7,5	1,7	2	0	
Niederschlag (Liter)	0	0,2	0	0	6,0 / 10	0,6	6,0 / 7	6,6 / 11	17 / 17	
Bodenwetterlage 00 UTC (Kernlage des Druckgebiets, das SW-D beeinflusst)	H ü O-Alpen	H ü W-SchM	H Wellen-T ü Bisk	H ü O-Balk, T ü Bisk	H ü W-Kauka, T ü S-GB	H-Keil von Iber und F	H ü Alpen, T ü NO-Atl u Nm	T mit Kernen bei	T ü GB	
Bodenströmung 12 UTC zyklonal (z), antizyklonal (a)	fl a	a-z	fl z	fl z	fl a	fl a	a-z	z	fl z	
Strömung auf 500 hpa 00 UTC	WNW fl a	SW a	SW a	SW a	SW a-z	W z	SW a-z	SW z	SW z	
zutreffende Wettersymbole	2-3 hr	3 r	2-3 r	2 r	3-5 f	3 r	5 hr	5 f	5 hr	

JUN 120 PLU JUN 20*38'55" STE 20*38'54" H* +10	SON 30 PAL WAA 18*22'39" SKO 18*22'39" H +2	MAR 0 MAK WAA 05*42'16" WAA 05*42'15" A	VES 150 EL6 STI 26*09'55" WAA 26*09'55" A*	SON 144 SED WAA 21*48'36" STI 27*48'37" A	MER 45 QUA STE 01*31'02" H +1	MER 135 CHI SKO 17*46'13" WID 02*46'14" T K? ---	MER 120 APO SKO 18*45'03" WID 02*46'14" T -1	CHI 72 PLU WID 02*41'14" STE 20*41'14" H*(4/2) ---	SON 0 HAU WAA 26*18'30" WAA 26*18'31" A
PAL 120 APO SKO 17*58'02" FIS 17*58'02" H* +10	MER 45 GaZ SKO 12*00'47" SCH 27*00'47" A	SON 72 QUA WAA 19*29'02" STE 01*29'01" T -3	JUP 135 URA SCH 20*10'48" STI 05*10'48" A*	VEN 72 PLU SKO 08*40'18" STE 20*40'18" A	SON 144 NEP WAA 22*24'16" FIS 16*24'17" A W	JUP 30 PLU SCH 20*40'54" STE 20*40'54" A*	VES 144 QUA STI 25*32'33" STE 01*32'33" H* +5	SON 150 VES WAA 25*21'56" STI 25*21'58" T -3	MER 45 MAK SKO 20*51'49" WAA 05*51'48" T -2
VEN 135 APO SKO 02*58'37" FIS 17*58'37" T -2	MAR 150 URA WAA 05*15'13" STI 05*15'14" A	VEN 30 FY9 SKO 05*42'38" WAA 05*42'38" A	MER 60 SAT SKO 14*27'32" STE 14*27'33" H +1	VEN 144 CHI SKO 08*49'34" WID 02*49'36" A W	CER 135 VAR SCH 18*55'04" LÖW 03*55'04" A*	SON 180 ERI WAA 23*46'13" WID 23*46'13" H +6	VEN 60 ORC SKO 11*40'15" JUN 11*40'14" A	MER 30 CER SKO 19*53'42" SCH 19*53'42" HI 0/+7	SON 45 ORC WAA 26*42'46" JUN 11*42'45" T -3
VEN 150 CHI SKO 03*01'34" WID 03*01'33" A	CER 72 FY9 SCH 17*41'38" WAA 05*41'38" A*	MAR 72 CER WAA 05*59'27" SCH 17*59'27" T -4	SON 90 PLU WAA 20*39'49" STE 20*39'49" A	MER 120 NEP SKO 16*24'26" FIS 16*24'27" A W	SON 30 JUN WAA 22*52'09" JUN 22*52'08" A	PLU 60 PAL STE 20*41'01" SKO 20*41'02" A*	VEN 45 GaZ SKO 12*00'46" SCH 27*00'45" H +3	URA 135 CER STI 04*58'29" SCH 19*58'29" A*	MER 30 JUP SKO 21*14'16" SCH 21*14'17" A
PAL 135 CHI SKO 18*01'30" WID 03*01'31" H* +5/0	VEN 45 JUP SKO 04*55'46" SCH 19*55'46" T -2	VEN 30 MAR SKO 06*04'10" WAA 06*04'10" H +2	VEN 45 JUN SKO 06*59'10" JUN 21*59'10" HI K +8	MER 45 GSZ SKO 17*19'32" WAA 02*19'31" H +1	Pal 30 JUP SKO 20*45'36" SCH 20*45'36" H* +5	SON 144 APO WAA 24*47'58" FIS 18*47'58" A W	JUN 72 KNI JUN 24*07'28" KRE 12*07'28" A*	VEN 60 SAT SKO 14*45'11" STE 14*45'10" T -2	
SON 150 APO WAA 18*02'21" FIS 18*02'20" A	MER 120 KNI SKO 12*29'48" KRE 12*29'49" A	SON 60 JUP WAA 20*06'10" SCH 20*06'11" A W	CER 90 APO SCH 18*21'59" FIS 18*21'59" H* +5	MAR 72 JUP WAA 08*46'24" SCH 20*46'24" T --- Index 2	VEN 120 KNI SKO 12*11'16" KRE 12*11'16" A W	VAR 135 APO LÖW 03*56'30" FIS 18*56'30" T* -11	SON 60 GaZ WAA 27*00'44" SCH 27*00'45" A		
VEN 90 VAR SKO 03*52'54" LÖW 03*52'53" H +2	VEN 180 URA SKO 05*13'50" STI 05*13'51" A	SON 144 VES WAA 20*12'41" STI 26*12'40" A		PAL 45 FY9 SKO 20*48'46" WAA 05*48'46" A*	JUN 150 ERI JUN 23*45'25" WID 23*45'25" H* +5	MER 60 PLU SKO 20*42'07" STE 20*42'08" T -1			
MER 60 ORC SKO 11*33'11" JUN 11*33'11" A						MAR 135 VES WAA 10*11'56" STI 25*11'55" A			

Oktober 2019



Prognose für SW-Deutschland

aktualisierter Index 3

Die Konjunktion Saturns mit dem absteigenden Mondknoten, die seit dem 26.04.2019 bestand, endet nun am 02.10.2019. Seit dem 24.09.2019 bis zum 07.10.2019 ist das Mondagogium in Konjunktion mit Neptun und löst Nep 72 Sed T?*(0,5/2) 0/-10 im Index 3 aus. Vesta 0° Sedna vom 1. bis 8., Ceres 0° Jupiter vom 20. bis 31.

Die rot markierten Aspekte im Index 3, sind Aspekte, bei denen der ursprüngliche Konjunktionsplanet den höheren Rang hat als der Partnerplanet. Das bedeutet, dass der Konjunktionsplanet bei diesen Aspekten immer als Planet 2 auftritt. Diese Aspekte wurden in dieser Datei nicht angerechnet.

Langsamläufer-Impulse				H*, T*	T*, H*		H*	T?*, 2H*	H*	H*	
Schnellläufer-Impulse	H, T	2T, 2H	2T	2H	2T	T, H	Tf, Hf, H	2H, T		2T, H	H
Temperaturimpulse	W	K?	W	W	K	2K			K	W	W
Premeteo-Index -zyklonal, + antizyklonal (Index 1+2+3)	8	5	2	7	-1	12	-12	23	1	25	11
Pre.IX (ALTERNATIV)				9	-6						
Index 1 (12 - 12 UTC) exakte Aspekte des Tages	3	-2	-3	2	-1	5	-7	16	2	14	0
Index 1 (ALTERNATIV)				4	-6						
Symmetrien (0 - 0 UTC)	Jup 29 Plu Mer (08) A* A T ...	Sed 151 Son Gaz (05) H 7* A 7 Ven 45 Qua GSZ (09) T H ? ?	Son 6op Ura Eri (00) H H ...	Ves 10p Pal Mer (16) T* H ?		Mer 2op Ves Sed (04) H A +7 Gaz 5 Qua Cer (06) ? A* ... Ves 2op Ven Mer (08) Hst H --Index Eri 9op Son Mar (14) H A -- Gaz 5 Jup Qua (17) T*(4,5/9,5) H?(3/0)	Var 89 Son Ura (00) A H?(14,5/1) H +7/9 Ves 10p Ven Pal (01) Hst T* ? Mak 9 Mar Jun (08) A A* ... Pal 2 Ven Mer (09) A A Auslösung Index 3 Mer 30 Hau Gaz (22) A H ?* +7	Mar 72 Var Gaz (03) A A A?(2/1) ... Pal 2op Ves Sed (22) T* A* -7	Ven 2op Ves Sed (05) Hst A --Vortag	Hau 10 Son Mar (02) A H -- Ven 30 Hau Gaz (06) A T ?* ... Ven 1 Pal Mer (07) A A W Auslösung Index 3 Chi 4op Jun Mak (19) A* H?(4/2) ...	Mer 1 Ven Pal (17) A W A Auslösung Index 3 Son 166 Ves Eri (21) H* +7 Pal 30 Hau Gaz (23) A* H* ?* +7
Index 2 (12 -12 UTC)	0	7	0	0	0	7	0	7	-7	0	0
Index 2 ALTERNATIV											
ausgelöste Aspekte (= durch Konjunktionen aktivierte Aspekte)	Pal 30 Jup H5 Orc 45 Hau T-11 Hau 60 Gaz ?		Pal 150 Eri H5	Ves 180 Pal T-5 Pal 150 Eri H5		Ven 30 Jup T-2	Auslösung Index 2: Pallas 72* Orc T-5	Ves 150 Jup H5	Ves 150 Jup H5 Jup 120 Eri H6	(Ven 30 Gaz T-2) (Ven 135 Kni T-2) (Ven 45 Kni T-2) Ves 150 Jup H5 Jup 120 Eri H6 Auslösung Index 2: Pallas 30 Gaz H* +5	(Ven 30 Gaz T-2) Index 3 Ves 150 Jup H5 Jup 120 Eri H6 Auslösung Index 2: Pallas 30 Gaz H* +5
Index 3 (Summe)	5	0	5	5	0	0	-5	0	6	11	11
Index 3 ALTERNATIV											
Symbol-Prognose	3	3	3	3	3	3	3	2	3	2	2
Wochentag	Mo	Di	Mi	Do	Fr	Sa	So	Mo	Di	Mi	Do
Datum	21	22	23	24	25	26	27	28	29	30	31
reale Wetterlage			H5: 2H*, 3H - 2T*, 5T / +20				T5: T?*, Tf, T - 3H*, Hf, 3H / +11	H6: 2H*, 2H - 2T / +37			
Luftdruck (hpa) 06 UTC	1016,1	1023,4	1016,8	1010,7	1021,7	1022,1	1019,7	1022,3	1019,6	1023,9	1021,2
mittl. Temp.(°C)	14,6	12,7	11,7	14,8	13,9	12,7	13,6	8,6	7,5	8	7,7
Sonnenscheindauer (h)	0	0	0	5,1	5,8	8,9	2,6	0	0	0	0
Niederschlag (Liter)	5,1 / 3	0	0	0	0	0	5,7 / 6	1,5 / 1	3,2 / 5	2,7 / 2	0
Bodenwetterlage 00 UTC (Kernlage des Druckgebets, das SW-D beeinflusst)	T ü F	f Wellen-T ü CH, T ü S-Schwed	T ü W-Mm, H ü N-D	H ü SO-Balk, T ü Bisk	H mit Kernen ü über u NO-Ital	H mit Kernen ü über u NO-Ital	H ü Alp, T ü S-Skand	K-Fro von T ü N-R, T.S. Pablo ü O-Atl	T ü O-Atl, T ü O-F	H ü Schottl, Nese, Däne	H ü Polen
Bodenströmung 12 UTC zyklonal (z), antizyklonal (a) Strömung auf 500 hpa 00 UTC	fl a	a	a	a	a	a-z	fl z	fl a	fl a	a-z	a
zutreffende Wettersymbole	5 hr	2-5 r	2-5 r	3-5 hr	3 r	2 hr	3 r	5 f	5 hr	5 f	2-5 hr

SON 150 SED WAA 27°45'35" STI 27°45'36" H +3	VEN 45 QUA SKO 16°35'47" STE 01°35'48" T -4	MER 150 ERI SKO 23°42'46" WID 23°42'46" A	MER 180 VES SKO 24°23'25" STI 24°23'25" H 0 / 4,2	SON 60 QUA SKO 01°38'43" STE 01°38'44" A	SON 30 GSZ SKO 02°19'33" WAA 02°19'34" A	JUN 90 GAZ JUN 27°00'44" SCH 27°00'44" A	SON 180 URA SKO 04°36'30" WAA 16°09'51" A K	MAR 150 NEP WAA 16°09'51" WAA 26°33'18" A	VEN 30 EL6 SKO 26°33'18" WAA 26°33'18" A	URA 144 JUN STI 04°29'47" JUN 28°29'47" A
PLU 30 CER STE 20°42'58" SCH 20°42'57" A	MAR 30 ORC WAA 11°44'48" JUN 11°44'48" H +4	MER 72 ORC SKO 23°45'45" JUN 11°45'45" T -2	VEN 120 APO SKO 19°27'12" FIS 19°27'13" H W +2	VEN 60 PLU SKO 20°45'17" STE 20°45'17" T K -2	SON 150 CHI SKO 02°24'52" WID 02°24'52" A	MER 30 EL6 SKO 26°29'19" WAA 26°29'18" A	MER 30 GAZ SKO 27°00'43" SCH 27°00'43" H +2	VEN 0 PAL SKO 25°42'49" SKO 25°42'48" A K	VEN 135 KNI SKO 26°34'29" KRE 11°34'30" T ---Index 2	PAL 135 KNI SKO 26°30'45" KRE 11°30'45" A
VES 120 JUN STI 24°52'53" JUN 24°52'52" A	VEN 45 GSZ SKO 17°19'33" WAA 02°19'33" H +2	SON 72 KNI WAA 29°55'02" STE 11°55'00" T W -3	PAL 150 ERI SKO 23°41'54" WID 23°41'54" H +5	VEN 180 PAL STI 24°04'33" SKO 24°04'33" T* 0 / -5	URA 45 APO STI 04°41'10" FIS 19°41'10" A	VEN 30 ERI STI 23°40'17" WID 23°40'17" H +5	CHI 180 GSZ WID 02°19'35" WAA 02°19'35" T?(1/5) -8	SON 30 FY9 SKO 06°04'19" WAA 06°04'20" A	VEN 150 JUP STI 23°00'45" SCH 23°00'46" H +5	PAL 30 EL6 SKO 26°35'18" WAA 26°35'18" A
MER 0 PAL SKO 22°29'32" SKO 22°29'32" A	MAR 90 KNI WAA 11°57'58" KRE 11°57'58" A	MAR 135 SED WAA 12°44'17" STI 27°44'18" T* ---	PAL 72 ORC SKO 23°47'21" JUN 11°47'21" T* ---	VEN 45 FY9 SKO 20°59'01" WAA 05°58'60" T -4	VEN 30 JUP SKO 22°21'19" SCH 22°21'19" T K -2	MAR 72 GAZ WAA 15°00'44" SCH 27°00'43" A	SON 135 APO SKO 04°56'01" FIS 19°55'60" T K? ---	CER 120 ERI SCH 23°38'49" WID 23°38'48" H +5	MAR 144 VES WAA 16°58'08" STI 22°58'07" H +4	VEN 60 JUN WAA 16°58'08" JUN 28°48'14" H W +4
VEN 120 NEP SKO 16°17'28" FIS 16°17'26" T W -2	VEN 135 CHI SKO 17°32'30" WID 02°32'30" T K? ---	SON 135 NEP SKO 01°14'01" FIS 16°14'01" A	JUN 30 EL6 WAA 26°26'52" WAA 26°26'52" A	SON 72 SAT SKO 03°06'08" STE 15°06'08" A	MAR 90 SAT WAA 15°08'56" STE 15°08'56" Tl -10	MAR 72 VAR WAA 15°58'52" LOW 03°58'52" A	VEN 30 GAZ SKO 27°00'43" SCH 27°00'43" T ---Index 2	SON 144 VES WAA 16°58'08" STI 22°58'07" H +4	VEN 30 GAZ SKO 27°00'43" SCH 27°00'43" T ---Index 2	SON 144 CHI SKO 08°12'20" WID 02°12'21" A
			CER 0 JUP SCH 22°10'39" SCH 22°10'39" H*(13/5/3) +5	VEN 30 CER SKO 22°34'56" SCH 22°34'56" Hf +4	VEN 180 VES SKO 23°35'53" STI 23°35'54" Hf +4	JUN 120 SED SKO 22°41'29" STI 27°41'29" H* +5	MER 0 VEN SKO 27°36'04" SKO 27°36'04" A W		VEN 180 SED SKO 27°40'18" STI 27°40'19" A	
		ORC 60 KNI JUN 11°48'15" KRE 11°48'14" A		SON 90 VAR SKO 03°58'39" LOW 03°58'40" A	VEN 150 ERI SKO 23°40'05" WID 23°40'03" H +4	MER 135 KNI SKO 26°41'51" KRE 11°41'51" A	VEN 72 ORC SKO 23°50'17" JUN 11°50'17" A			

Oktober 2019: Fehlprognosen

Datum	Vorzeichen Symbol	Analyse
1.	-18 3-5 r	Hoch über Süddeutschland und Westbalkan. Kräftiger Luftdruckfall.
2.	+14 5 f	Tief Nils I und II über Nordostdeutschland und Nordpolen. Am Vortag Premeteo-Index von -18.
5.	+27 5 f	Um 0 UTC war noch eine sehr schmale H-Brücke über Südwestdeutschland zwischen der 1010er-Isobare von Tief ex-Lorenzo und der 1010er-Isobare eines Tiefs über Norditalien erhalten geblieben. Am Vormittag kam es bei steigendem Luftdruck zu Regenfällen und um 12 UTC lag eine schmale Tiefdruckzone über Südwestdeutschland, die sich um 0 UTC des 6. zu Tief Olaf II über Großbritannien erweitert hatte und reichlich Regen brachte. Auf 500 hPa zyklonal. Der Premeteo-Index vom 6. hatte den Wert -5.
18.	+19 5 f	Tief Thilo I, II, III mit Kernen vor Irland, über dem Nordmeer und über Südsandinavien. Tiefdruckphase setzt gegenüber Premeteo-Index zu früh ein. Einzige T-Aspekte waren Mars 72° Jupiter T und Merkur 120° Apogäum T. Die H*-Aspekte Vesta 144° Quaoar und Juno 150° Eris blieben unwirksam.
19.	+2 5 hr	Tief Thilo I, II über Großbritannien und Nordsee. Der Premeteo-Index fiel von +19 auf +2 relativ steil ab. Am 20. erreichte er einen Wert von -14 und Tief Thilo blieb weiterhin wetterbestimmend. Herausragender Aspekt war Varuna 135° Apogäum T*.
21.	+8 5 hr	Tief Urban über Frankreich. Flacher Index.
22.	+2 5 hr	Wellentief über der Schweiz. Flacher Index. die Atmosphäre stabilisierte sich und Deutschland kam in den Einflussbereich von Hoch Majla II über Norddeutschland. Nur Südwestdeutschland geriet bei deutlich fallendem Luftdruck schon in den Isobarenkrümmungsbereich von Tief Vlad über dem Westmittelmeer.
25.	-1	Hoch Majla I und II mit Kernen über der Iberischen Halbinsel und Nordostitalien. Flacher Index, einzelner negativer Tag, auf 500 hPA flach zyklonal.
28.	+23 5 f	Kaltfront von Tief Yaroslav über Nordrussland. Der Umschwung zu den kalten Temperaturen geschah mit Vesta 150° Ceres H* K?*. Auf den Philippinen kam es am 29. zu einem Erdbeben. Die Luftdruckkurve verlief in der Form der Premeteo-Trendlinie bei relativ hohem Druck, doch war die Strömung durch die Kaltfronthebungsvorgänge zyklonal und es kam zu reichlich Niederschlag.

Monatsauswertung (Lahr)

Okt 19

H-Wetterlagen

	Anzahl der Wetterlagen	Anzahl der Tage	Niederschlag in Liter	H*	Hf	H	T*	Tf	T	L
normal	4	15	22,4 / 59	11	2	14	1	0	11	0
anormal	2	5	3,9 / 0	2	0	3	2	1	5	0
gesamt	6	20	26,3 / 59	13	2	17	3	1	16	0

Verhältnis H/Tage = 32/20 = 1,60
 Verhältnis T/Tage = 20/20 = 1,00

T-Wetterlagen

	Anzahl der Wetterlagen	Anzahl der Tage	Niederschlag in Liter	H*	Hf	H	T*	Tf	T	L
normal	3	7	34,7 / 52	2	1	6	2	0	11	0
anormal	2	4	19,3 / 31	5	1	4	1	1	3	0
gesamt	5	11	54,0 / 83	7	2	10	3	1	14	0

Verhältnis H/Tage = 19/11 = 1,73
 Verhältnis T/Tage = 18/11 = 1,64

ganzer Monat	Anzahl der Wetterlagen	Anzahl der Tage	Niederschlag in Liter	H*	Hf	H	T*	Tf	T	L
	11	31	80,3 / 142	20	4	27	6	2	30	0

Gesamtzahl H-Aspekte: 51
 Gesamtzahl T-Aspekte: 38
 Zahl aller Aspekte: 199
 Quotient H/T = 1,34
 Gesamtzahl L-Aspekte: 0

Niederschlag Durbach: s.o. hinter Schrägstrich

r = richtig hr = halbrichtig f = falsch

Symbolprognose in Tagen	11 r 11 hr 9 f
-------------------------	----------------

Premeteo-Index pro Tag	HWL +177/20 = +8,85	TWL +60/11 = +5,45
------------------------	---------------------	--------------------

bezüglich des Vorzeichens richtige Tage	12	bezüglich des Vorzeichens falsche Tage	9
---	----	--	---

Bei der Auswertung des Januar 2017 wurde entdeckt, dass im Index 3 möglicherweise nur dann Auslösungsaspekte aktiviert werden, wenn der Konjunktionsplanet einen Aspekt mit einem Planeten bildet, der einen höheren Rang hat als der betroffene Konjunktionsplanet selbst. Dies bestätigte sich im Laufe des ganzen Jahres 2017. Manchmal entstand der Eindruck, dass die im korrigierten Index 3 nicht mehr angerechneten Aspekte auf 500 hpa zum Teil doch anwesend waren. Ab Januar 2018 werden nur noch die im Index 3 korrigierten Prognosen ausgewertet.